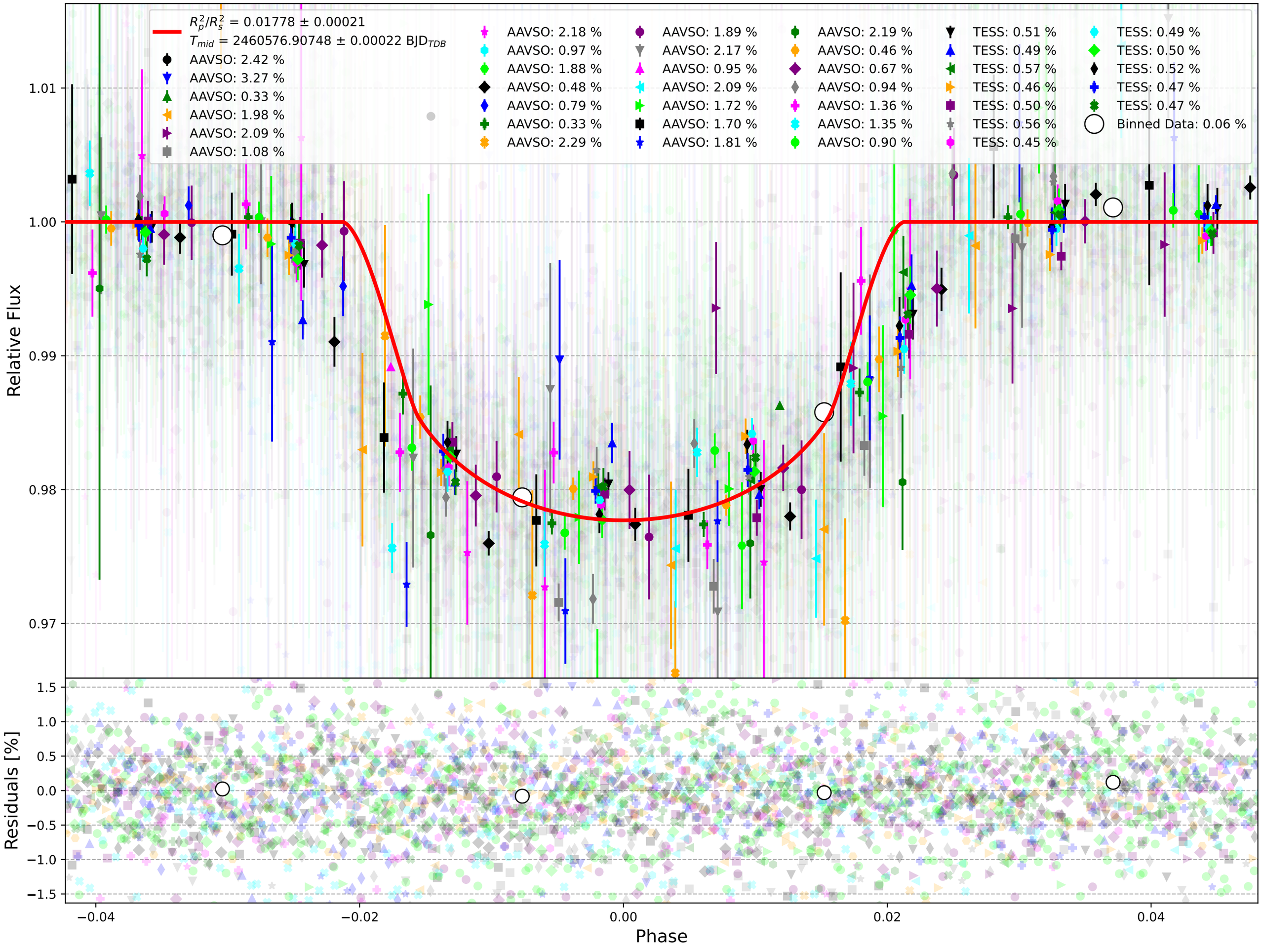
$R_p^2/R_s^2$ = 0.01778 ± 0.00021
$T_{mid}$ = 2460576.90748 ± 0.00022 $BJD_{TDB}$
AAVSO: 2.42 %
AAVSO: 3.27 %
AAVSO: 0.33 %
AAVSO: 1.98 %
AAVSO: 2.09 %
AAVSO: 1.08 %
AAVSO: 2.18 %
AAVSO: 0.97 %
AAVSO: 1.88 %
AAVSO: 0.48 %
AAVSO: 0.79 %
AAVSO: 0.33 %
AAVSO: 2.29 %
AAVSO: 1.89 %
AAVSO: 2.17 %
AAVSO: 0.95 %
AAVSO: 2.09 %
AAVSO: 1.72 %
AAVSO: 1.70 %
AAVSO: 1.81 %
AAVSO: 2.19 %
AAVSO: 0.46 %
AAVSO: 0.67 %
AAVSO: 0.94 %
AAVSO: 1.36 %
AAVSO: 1.35 %
AAVSO: 0.90 %
TESS: 0.51 %
TESS: 0.49 %
TESS: 0.57 %
TESS: 0.46 %
TESS: 0.50 %
TESS: 0.56 %
TESS: 0.45 %
TESS: 0.49 %
TESS: 0.50 %
TESS: 0.52 %
TESS: 0.47 %
TESS: 0.47 %
Binned Data: 0.06 %
Relative Flux
1.01
1.00
0.99
0.98
0.97
Residuals [%]
1.5
1.0
0.5
0.0
−0.5
−1.0
−1.5
−0.04
−0.02
0.00
0.02
0.04
Phase